

## Supporting Information

### 一维交替铁磁–反铁磁耦合的海森堡链 $[\text{Mn}(\text{N}_3)_2(\text{pybox})]_n$

刘娜<sup>1</sup> 贾丽慧<sup>3</sup> 吴宗铨<sup>1</sup> 朱元元<sup>\*,1,2</sup> 王炳武<sup>\*,2</sup> 高松<sup>\*,2</sup>

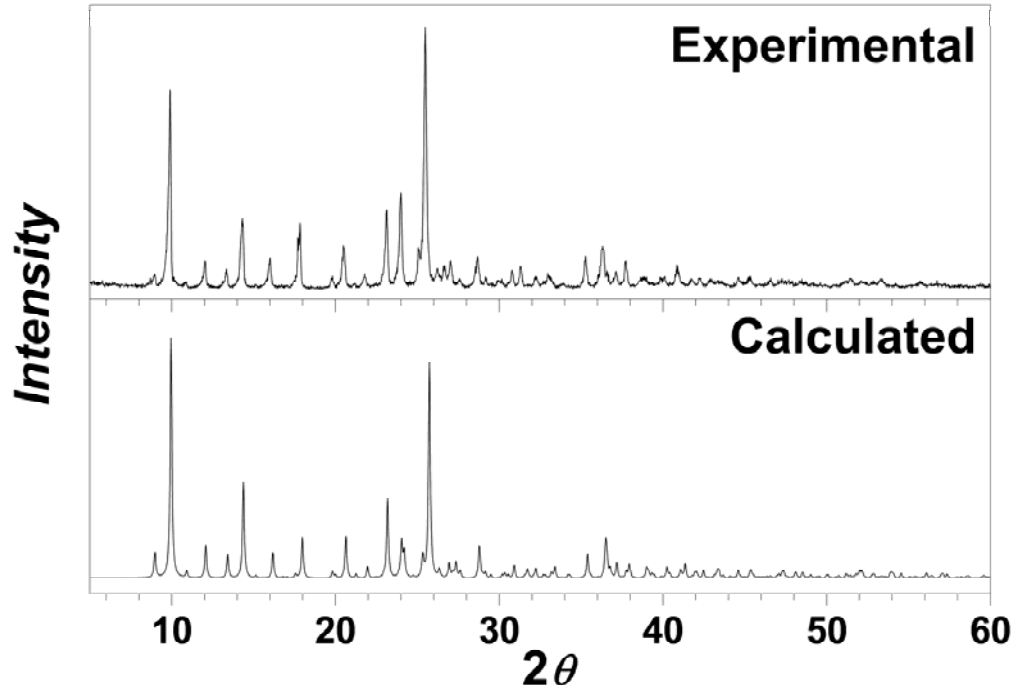
(<sup>1</sup> 合肥工业大学, 化学工程学院, 功能材料与器件安徽省重点实验室, 合肥 200039)

<sup>2</sup> 北京大学, 化学与分子工程学院, 北京分子科学国家实验室, 稀土材料化学及应用国家重点实验室, 北京 100871;

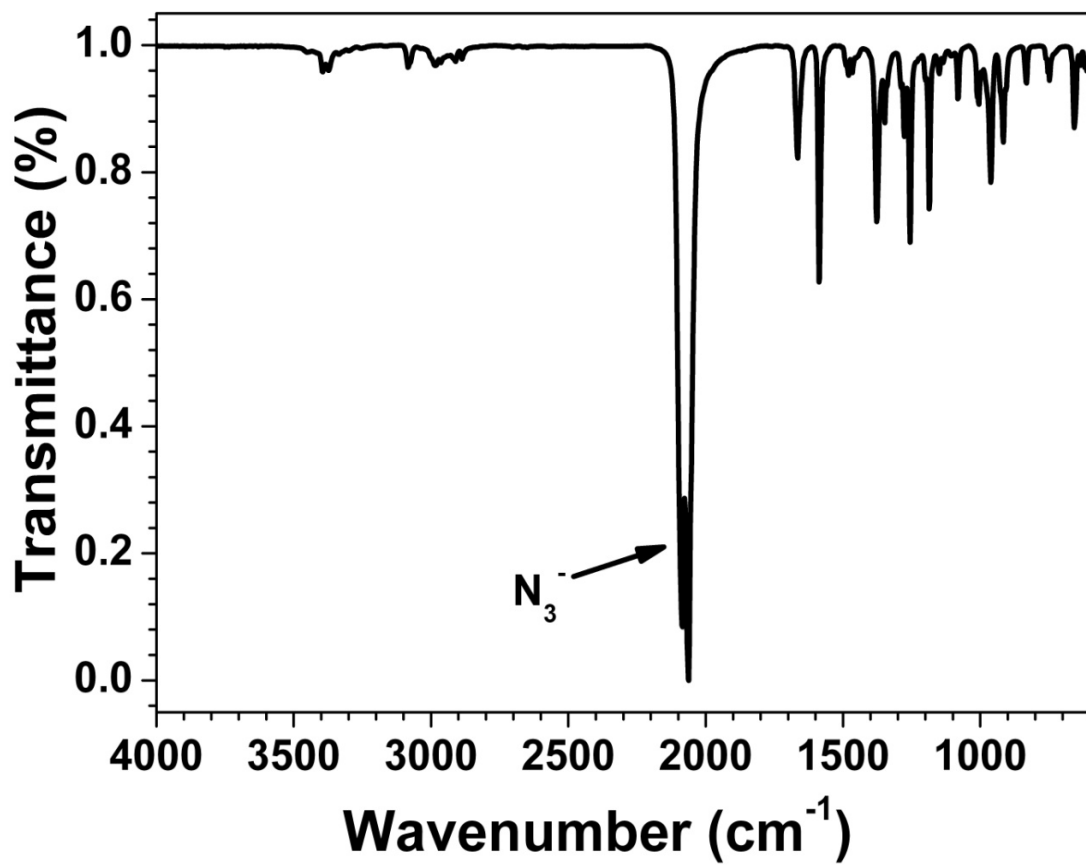
<sup>3</sup> 武汉工程大学, 化工与制药学院, 绿色化工过程省部共建教育部重点实验室, 武汉 430073)

### One-Dimensional Alternating Ferromagnetic-Antiferromagnetic Coupled Heisenberg Chain $[\text{Mn}^{\text{II}}(\text{N}_3)_2(\text{pybox})]_n$

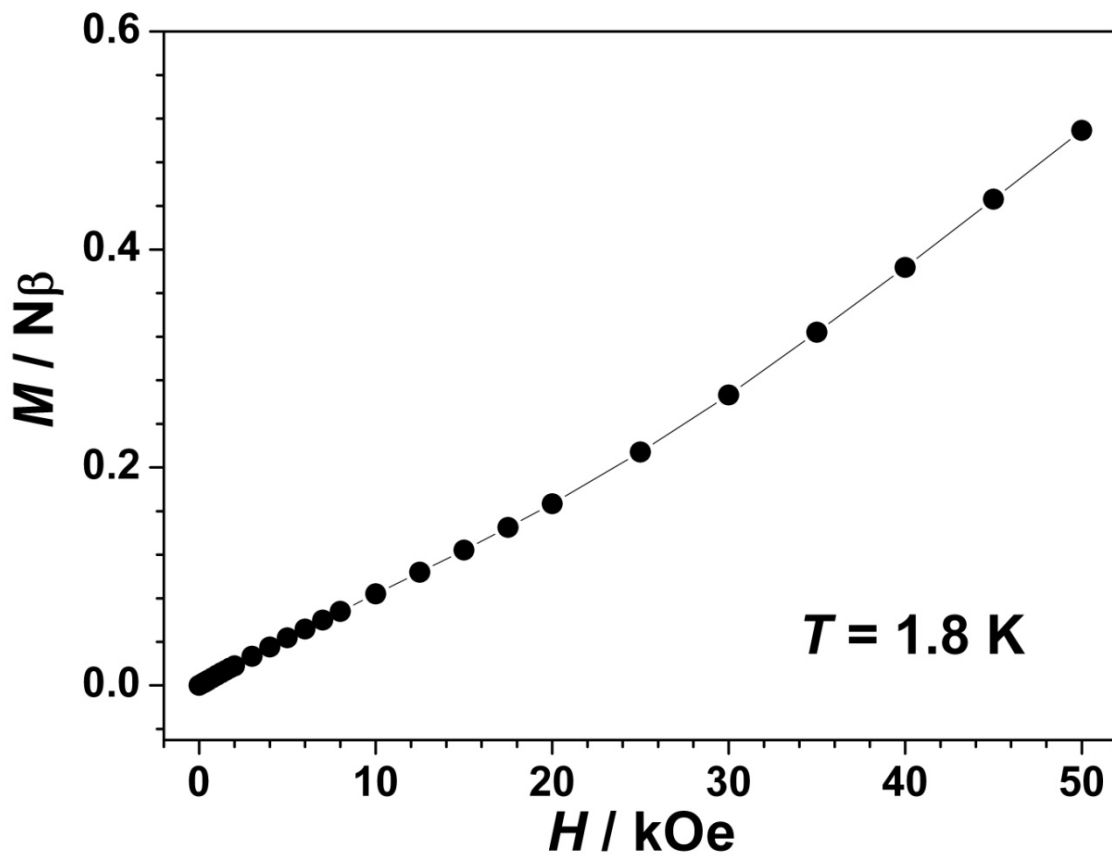
LIU Na<sup>1</sup> JIA Li-Hui<sup>3</sup> WU Zong-Quan<sup>1</sup> ZHU Yuan-Yuan<sup>\*,1,2</sup> WANG Bing-Wu<sup>\*,2</sup> GAO Song<sup>\*,2</sup>



**Fig. S1** The powder XRD pattern of compound **1** and the simulated one based on the single-crystal structure.



**Fig. S2** IR spectrum of compound **1**.



**Fig. S3** Isothermal magnetization for **1** from 0 to 5 T at 1.8 K.